

平面周期物体的 Lau 效应

余飞鸿 李正民

(浙江大学光仪系, 杭州 310027)

梁荫中

(武汉测绘科技大学物理组, 武汉 430070)

刘立人

(中国科学院上海光学精密机械研究所, 上海 201800)

提要

基于部分相干理论中交叉谱密度函数的概念研究了平面周期物体的 Lau 效应。文章导出了平面物体 Lau 像光强分布式, 求得了平面周期物体的 Lau 像光强分布及其 Lau 成像条件, 并进行了实验验证, 给出了实验结果。

关键词 Lau 效应, 平面周期物体, Lau 成像条件。

1 引言

Lau 效应是用扩展白光光源照明一双光栅系统, 在无穷远处观察的一种干涉现象。这种现象自 Lohomann^[1] 基于衍射理论重新提出并解释以来, 引起人们广泛的兴趣, 但目前对 Lau 效的研究仍局限于一维光栅, 平面物体 Lau 效的研究也仅仅局限于 90° 的正交光栅^[2], 任意夹角平面周期物体(以下简称平面周期物体)的 Lau 效应由于数学处理复杂, 至今尚无人进行详细研究, 文献[3]的研究只是一般的扩展。本文拟对平面周期物体的 Lau 效应作一些理论和实验研究, 这种研究将扩展 Lau 效应, 是很有意义的。

2 基本理论

图 1 是 Lau 效应实验装置, 扩展白光光源 S 通过会聚透镜 L_1 成像照明平面物体 g_1 , 经过平面物体 g_1 调制的光波照射到和 g_1 相隔一定间距 z_0 , 且具有和 g_1 相同光透过率分布的平面物体 g_2 上, 在一定间距 z_1 处放置会聚透镜 L_2 , 则在 L_2 后一定间距 z_2 处可观察到 Lau 像。

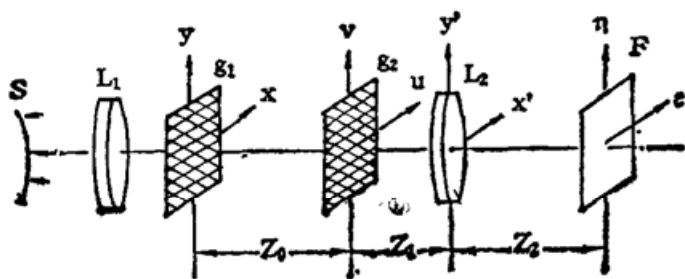


Fig. 1 The basic setup for Lau's Experiment

收稿日期: 1991年5月29日

假设扩展白光光源成像照明在平面物体 g_1 上所形成的交叉谱密度函数是 $w_{g_1}^{(-)}$

$(x_1, y_1, x_2, y_2, \omega)$, 则 g_1 后的交叉谱密度函数是 $w_{g_1}^{(+)}(x_1, y_1, x_2, y_2, \omega)$ 为

$$w_{g_1}^{(+)}(x_1, y_1, x_2, y_2, \omega) = g_1(x_1, y_1) g_1^*(x_2, y_2) w_{g_1}^{(-)}(x_1, y_1, x_2, y_2, \omega), \quad (1)$$

式中的 $g_1(x_1, y_1)$ 为平面物体 g_1 的复振幅透过率分布, $g_1^*(x_2, y_2)$ 为其复共轭, (+) 表示在平面物体 g_1 的右面, (-) 表示在平面物体 g_1 的左面, 以下类同。交叉谱密度在空间的传播服从亥姆霍兹(Helmholtz)方程, 故由平面物体 g_1 右面传播到平面物体左面的交叉谱密度函数 $w_{g_1}^{(-)}(u_1, v_1, u_2, v_2, \omega)$ 为

$$\begin{aligned} w_{g_1}^{(-)}(u_1, v_1, u_2, v_2, \omega) = & \iiint w_{g_1}^{(+)}(x_1, y_1, x_2, y_2, \omega) \exp\{ik[(x_1 - u_1)^2 + (y_1 - v_1)^2 \\ & - (x_2 - u_2)^2 - (y_2 - v_2)^2]/2z_0\} dx_1 dy_1 dx_2 dy_2. \end{aligned} \quad (2)$$

平面物体 g_2 右面的交叉谱密度函数 $w_{g_2}^{(+)}(u_1, v_1, u_2, v_2, \omega)$, 根据(1)式可同样写成

$$w_{g_2}^{(+)}(u_1, v_1, u_2, v_2, \omega) = g_2(u_1, v_1) g_2^*(u_2, v_2) w_{g_2}^{(-)}(u_1, v_1, u_2, v_2, \omega). \quad (3)$$

根据(2)式同样可求得平面物体 g_2 到相隔一定间距 z_1 处即透镜 L_2 前的交叉谱密度函数 $w_{L_2}^{(-)}(x'_1, y'_1, x'_2, y'_2, \omega)$ 为

$$\begin{aligned} w_{L_2}^{(-)}(x'_1, y'_1, x'_2, y'_2, \omega) = & \iiint w_{g_2}^{(+)}(u_1, v_1, u_2, v_2, \omega) \exp\{ik[(u_1 - x'_1)^2 + (v_1 - y'_1)^2 \\ & - (u_2 - x'_2)^2 - (v_2 - y'_2)^2]/2z_1\} du_1 dv_1 du_2 dv_2. \end{aligned} \quad (4)$$

假定透镜 L_2 是一薄透镜, 仅起位相因子变换作用, 且对光振幅不起衰减作用, 则透镜 L_2 右面的交叉谱密度函数 $w_{L_2}^{(+)}(x'_1, y'_1, x'_2, y'_2, \omega)$ 为

$$w_{L_2}^{(+)}(x'_1, y'_1, x'_2, y'_2, \omega) = w_{L_2}^{(-)}(x'_1, y'_1, x'_2, y'_2, \omega) \exp[ik(x'_1^2 + y'_1^2 - x'_2^2 - y'_2^2)/2f]. \quad (5)$$

透镜 L_2 右面到 Lau 像面(F 平面)之间的交叉谱密度函数的传播仍同(2)式, 于是 F 平面的交叉谱密度函数 $w_F(s_1, \eta_1, s_2, \eta_2, \omega)$ 为

$$\begin{aligned} w_F(s_1, \eta_1, s_2, \eta_2, \omega) = & \iiint w_{L_2}^{(+)}(x'_1, y'_1, x'_2, y'_2, \omega) \exp\{ik[(x'_1 - s_1)^2 \\ & + (y'_1 - \eta_1)^2 - (x'_2 - s_2)^2 - (y'_2 - \eta_2)^2]/2z_2\} dx'_1 dy'_1 dx'_2 dy'_2. \end{aligned} \quad (6)$$

由(6)式得观测平面 F 上 Lau 像光强分布 $I(s, \eta, \omega)$ 是

$$\begin{aligned} I(s, \eta, \omega) = & w_F(s_1, \eta_1, s_2, \eta_2, \omega) \Big|_{\substack{s_1 = s, s_2 = s \\ \eta_1 = \eta_2 = \eta}} \\ = & \iiint w_{g_1}^{(+)}(x_1, y_1, x_2, y_2, \omega) \exp\{ik(u_1^2 + v_1^2 - u_2^2 - v_2^2)/2z_1\} dx_1 dy_1 dx_2 dy_2 \\ & \cdot \iiint \exp\left\{ik\left[(x'_1^2 + y'_1^2 - x_1^2 - y_1^2)\left(\frac{1}{2z_1} + \frac{1}{2z_2} - \frac{1}{2f}\right)\right]\right\} \\ & \cdot \exp\left\{i2\pi\left[x'_2\left(\frac{s}{\lambda z_2} + \frac{u_2}{\lambda z_1}\right) + y'_2\left(\frac{\eta}{\lambda z_2} + \frac{v_2}{\lambda z_1}\right) - x'_1\left(\frac{s}{\lambda z_2} + \frac{u_1}{\lambda z_1}\right) \right.\right. \\ & \left.\left. - y'_1\left(\frac{\eta}{\lambda z_2} + \frac{v_1}{\lambda z_1}\right)\right]\right\} dx'_1 dy'_1 dx'_2 dy'_2. \end{aligned} \quad (7)$$

在(7)式中令

$$u_1 = u + \alpha, v_1 = v + \beta, u_2 = u, v_2 = v. \quad (8)$$

又 Lau 像观测一般是在透镜 L_2 的后焦平面上, 故 $z_2 = f$, 根据文献[4]对(7)式中的第二个四重积分实施运算得 F 平面 Lau 像光强分布是

$$I(s, \eta, \omega) = \iiint w_{g_1}^{(+)}(u_1, v_1, u_2, v_2, \omega) \exp\{-i2\pi[(\alpha/\lambda f)s + (\beta/\lambda f)\eta]\} du_1 dv_1 du_2 dv_2. \quad (9)$$

由(9)式可知, 平面物体 Lau 效应的 Lau 像光强分布是光源 S , 平面物体 g_1, g_2 组成的系统在 g_2 后面形成的交叉谱密度函数 $w_{g_1}^{(+)}(u_1, v_1, u_2, v_2, \omega)$ 的四维傅里叶变换.

3 平面周期物体的 Lau 效应

假定扩展光源 S 面积足够大, 非相干照明平面周期物体 g_1 的条件总能满足, 于是平面周期物体 g_1 上的交叉谱密度函数 $w_{g_1}^{(-)}(x_1, y_1, x_2, y_2, \omega)$ 为

$$w_{g_1}^{(-)}(x_1, y_1, x_2, y_2, \omega) = i\omega(x_1, y_1) \delta(x_1 - x_2, y_1 - y_2). \quad (10)$$

则由(1)式知 g_1 右面的交叉谱密度函数为

$$\begin{aligned} w_{g_1}^{(+)}(x_1, y_1, x_2, y_2, \omega) &= i\omega(x_1, y_1) \delta(x_1 - x_2, y_1 - y_2) g_1(x_1, y_1) g^*(x_2, y_2) \\ &= |g_1(x_1, y_1)|^2 \delta(x_1 - x_2, y_1 - y_2). \end{aligned} \quad (11)$$

在(11)式的推导中假定 $i\omega(x_1, y_1)$ 是一缓变函数, 在以后分析中可以略去或总能提取到积分号外. 将(11)式代入到(2)式中得 g_2 前面的交叉谱密度函数为

$$\begin{aligned} w_{g_2}^{(-)}(u_1, v_1, u_2, v_2, \omega) &= \exp[ik(u_1^2 + v_1^2 - u_2^2 - v_2^2)/2z_0] \\ &\cdot \iint |g_1(x_1, y_1)|^2 \exp\{-ik[(u_1 - u_2)x_1 \\ &+ (v_1 - v_2)y_1]/z_0\} dx_1 dy_1. \end{aligned} \quad (12)$$

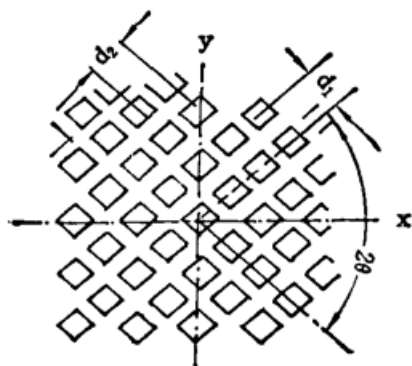


Fig. 2 The mathematical expression of the plane-periodic object, d_1, d_2 are the periods of the plane-periodic object, 2θ is the angle between the two periodic directions

平面周期物体 g_1, g_2 的数学表示根据文献[5]可用其单胞和二维倾斜疏状函数的卷积来表示. 假定平面周期物体单胞的透过率是 $g_0(x, y)$, 两个方向的周期是 d_1, d_2 , 两周期方向的夹角是 2θ , 坐标选择如图 2, 则平面周期物体可表示成

$$g(x, y) = g_c(x, y) \otimes \otimes \text{comb}\left(\frac{\sin \theta}{d_1} x - \frac{\cos \theta}{d_1} y, \frac{\sin \theta}{d_2} x + \frac{\cos \theta}{d_2} y\right). \quad (13)$$

(13)式中 $\otimes \otimes$ 表示二维卷积, 将(13)式代入(12)式有

$$\begin{aligned} w_{g_2}^{(-)}(\alpha, \beta, u, v, \omega) &= \sum_{m=-\infty}^{\infty} \sum_{n=-\infty}^{\infty} \exp[i\pi(\alpha^2 + \beta^2)/\lambda z_0] G_c\left(\frac{\alpha}{\lambda z_0}, \frac{\beta}{\lambda z_0}\right) \otimes \otimes \\ &G_c\left(-\frac{\alpha}{\lambda z_0}, -\frac{\beta}{\lambda z_0}\right) \delta\left[\alpha - \left(\frac{m}{d_1} + \frac{n}{d_2}\right) \lambda z_0 \sin \theta, \right. \\ &\left. \beta - \left(\frac{-m}{d_1} + \frac{n}{d_2}\right) \lambda z_0 \cos \theta\right] \cdot \exp[i2\pi(\alpha u + \beta v)/\lambda z_0]. \end{aligned} \quad (14)$$

(14)式的化简中用到(13)式的傅里叶变换^[5]及(8)式, 由(3)式得 g_2 右面的交叉谱密度函数为

$$\begin{aligned} w_{g_2}^{(+)}(\alpha, \beta, u, v, \omega) &= g_2(u_1, v_1) g_2^*(u_2, v_2) w_{g_2}^{(-)}(\alpha, \beta, u, v, \omega) \\ &= g_2(u, v) g_2^*(u+\alpha, v+\beta) w_{g_2}^{(-)}(\alpha, \beta, u, v, \omega). \end{aligned} \quad (15)$$

将(14)式、(15)式代入(9)式中得到平面周期物体 Lau 效应的 Lau 像光强分布为

$$\begin{aligned} I(s, \eta, \omega) &= \iiint \exp[-ik(s\alpha + \eta\beta)/f] g_2(u, v) g_2^*(u+\alpha, v+\beta) w_{g_2}^{(-)}(\alpha, \beta, u, v, \omega) \\ &\cdot d\alpha d\beta du dv = \sum_{m=-\infty}^{\infty} \sum_{n=-\infty}^{\infty} C_{mn} B_{mn} \exp \left[i2\pi \frac{\lambda z_0}{d_1 d_2 R_1 R_2} \right. \\ &\cdot \left. (m^2 R_1^2 + n^2 R_2^2 - 2mn R_1 R_2 \cos 2\theta) \right] \\ &\cdot \exp \left\{ -ik \left[\left(\frac{m}{d_1} + \frac{n}{d_2} \right) \lambda z_0 s \cos \theta + \left(-\frac{m}{d_1} + \frac{n}{d_2} \right) \lambda z_0 \eta \cos \theta \right] / f \right\} \quad (16) \\ C_{mn} &= G_c \left[\left(\frac{m}{d_1} + \frac{n}{d_2} \right) \sin \theta, \left(-\frac{m}{d_1} + \frac{n}{d_2} \right) \cos \theta \right] \otimes \otimes \\ G_c^* &= \left[-\left(\frac{m}{d_1} + \frac{n}{d_2} \right) \sin \theta, -\left(-\frac{m}{d_1} + \frac{n}{d_2} \right) \cos \theta \right], \quad (17) \end{aligned}$$

$$\begin{aligned} B_{mn} &= \iint g_2(u, v) g_2^* \left[u + \left(\frac{m}{d_1} + \frac{n}{d_2} \right) \lambda z_0 \sin \theta, v + \left(-\frac{m}{d_1} + \frac{n}{d_2} \right) \lambda z_0 \cos \theta \right] \\ &\cdot \exp \left\{ i2\pi \left[\left(\frac{m}{d_1} + \frac{n}{d_2} \right) u \sin \theta + \left(-\frac{m}{d_1} + \frac{n}{d_2} \right) v \cos \theta \right] \right\}. \end{aligned} \quad (18)$$

式中 $G_c(\)$ 是 $g_c(\)$ 的傅里叶变换, 至此, 平面周期物体 Lau 效应的 Lau 像光强分布归结为(16)式中二次位相因子的消除及 B_{mn} 因子的化简, 它是确定平面周期物体 Lau 成象条件的依据, 下面将讨论这种依据.

分析(16)式中的二次位相因子知, 该二次位相因子消除条件相当于下面的多值方程

$$\exp \left[i\pi \frac{\lambda z_0}{d_1 d_2 R_1 R_2} (m^2 R_1^2 + n^2 R_2^2 - 2mn R_1 R_2 \cos 2\theta) \right] = \pm 1, \quad (19)$$

要使(19)式成立, 首先必须有

$$\frac{\lambda z_0}{d_1 d_2 R_1 R_2} = \alpha' \quad \text{或} \quad z_0 = \alpha' R_1 R_2 d_1 d_2 / \lambda, \quad (\alpha' = 1, 2, 3, \dots) \quad (20)$$

将(20)式代入(19)式又有

$$\exp \{ i\pi [\alpha' (m^2 R_1^2 + n^2 R_2^2) + 2\alpha' mn R_1 R_2 \cos 2\theta] \} = \pm 1. \quad (21)$$

上式对所有 m, n 都成立又必须有

$$\alpha' R_1 R_2 \cos 2\theta = L, \quad 0 < L < \alpha' R_1 R_2 - 1 \quad (L = 0, 1, 2, \dots) \quad (21)$$

于是在(20)式、(21)式同时满足的条件下, (19)式成立, (16)式中二次位相因子消除, 此时 B_{mn} 可简化成 C_{mn}^* . 于是平面周期物体 Lau 效应的 Lau 像光强分布即(16)式可以简化为

$$\begin{aligned} I(s, \eta, \omega) &= \sum_{m=-\infty}^{\infty} \sum_{n=-\infty}^{\infty} |C_{mn}|^2 (-1)^{\alpha' (m^2 R_1^2 + n^2 R_2^2)} \\ &\cdot \exp \left\{ -i2\pi \left[\left(\frac{m}{d_1 f/z_0} + \frac{n}{d_2 f/z_0} \right) s \sin \theta \right. \right. \\ &\left. \left. + \left(-\frac{m}{d_1 f/z_0} + \frac{n}{d_2 f/z_0} \right) \eta \cos \theta \right] \right\}. \end{aligned} \quad (22)$$

(22)式中 C_{mn} 是单胞傅里叶变换的自卷积, 可由(17)式决定. 把获得平面周期物清晰 Lau 像的条件, 即(20)式和(21)式称为 Lau 间距条件和角度限制条件. 分析(20)式和(21)式知,

平面周期物体 Lau 效应的 Lau 像光强分布受到两平面周期物体 g_1 和 g_2 之间的间距 z_0 及平面周期物体两周期方向夹角 2θ 的限制。根据(20)式和(21)式知，对一给定夹角为 2θ 的平面周期物体，当 z_0 满足基本 Lau 间距 $R_1 R_2 d_1 d_2 / \lambda$ 的整数倍值时，并不总能观察到清晰的 Lau 像，只有当 2θ 同时满足(21)式的角度限制条件时，即平面周期物体两周期方向夹角 2θ 使 L 为 0 或正整数时，才能观察到清晰 Lau 像。

为简单起见，选用 $d_1 = d_2 = d$ ，则 $R_1 = R_2 = 1$ 的平面周期物体，此时 Lau 间距条件和角度限制条件可以写成

$$z_0 = \alpha' d^2 / \lambda, \quad (\alpha' = 1, 2, 3, \dots) \quad (22)$$

$$\alpha' \cos 2\theta = 1, \quad 0 < L \leq \alpha' - 1, \quad (L = 0, 1, 2, \dots) \quad (23)$$

选取 $\alpha' = 1 \sim 4$ 之间的倍率常数，则由(23)式可求得在这些倍率处可以观察到清晰 Lau 像的各种角度值 2θ 如表 1 所示。

Table 1 The angles having clear Lau images

$2\theta^\circ$	L	0	1	2	3
1		90			
2		90	60		
3		90	70.5	48.2	
4		90	75.5	60	41.4

gl and g2 $a' = 1$ $a' = 2$ $a' = 3$ $a' = 4$ $a' = 5$ $a' = 6$ $a' = 7$ $a' = 8$

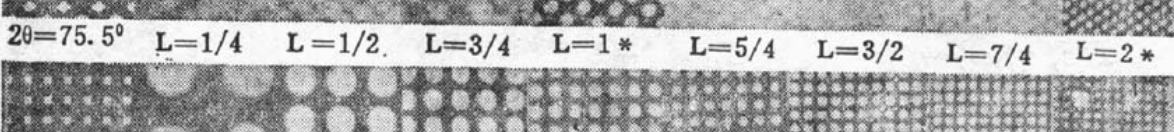
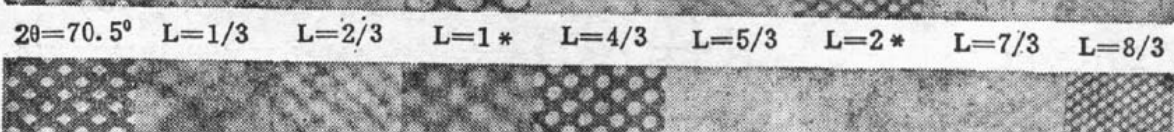
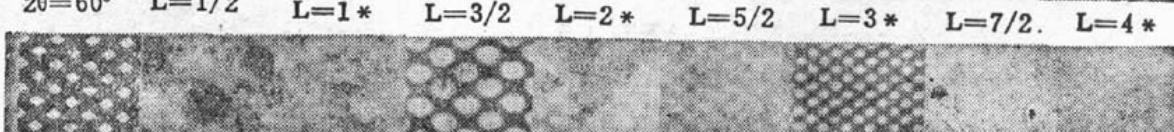
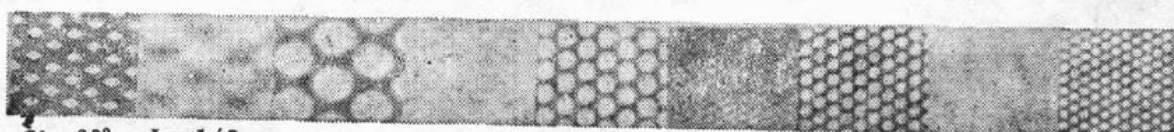


Fig. 3 The Lau images produced by the (a) 60° , (b) 70.5° , (c) 75.5° , (d) 90° , plane-periodic objects, distance between the plane-periodic objects g_1, g_2 is $\alpha' d^2 / \lambda$. The value L is calculated according to Eqs. (23), (24). From the Lau images we find only integer values L can obtain.

clear Lau images

4 实验结果

选用 $d_1=d_2=d=0.235\text{ mm}$ 的平面周期物体, 该平面周期物体两倾斜周期方向的透光宽度小于两方向周期的一半, 为 0.100 mm , 以保证经平面周期物体衍射的交叉谱项参与成像。选取两周期方向夹角为 60° , 70.5° , 75.5° , 90° 等共 4 组在 $\alpha'=1\sim8$ 时拍摄了 Lau 像, 如图 3 所示。在本实验中, 扩展光源直径为 7.5 cm , 为拍摄 Lau 像, 在 Lau 实验光路中加了一中心透过率是 594 nm 的干涉滤光片, 因而基本 Lau 间距为 $(d^2/\lambda)=9.4\text{ cm}$ 。从图 3 可见, 结果符合 Lau 成像条件(22)式和(23)式。实验系统原理图如图 1 所示, 在该图中 z_1 任意, z_2 为透镜 L_2 的焦距, 拍摄时, 照相机对 L_2 焦平面 F 聚焦即可。也可直接将全息干板放在 F 平面曝光即可。

参 考 文 献

- [1] J. Jahns, A. W. Lohmann, The Lau effect (A Diffraction Experiment With Incoherent Illumination). *Opt. Comm.*, 1979, **28**(3): 263~269
- [2] Yih-Shyang Cheng, Fringe Formation With a Cross-grating Interferometer. *Appl. Opt.*, 1986, **25**(22): 4185~4191
- [3] 刘立人. 平面物体的 Lau 效应理论. 光学学报, 1986, **6**(6): 807~814
- [4] J. W. Goodman, *Introduction to Fourier Optics*. McGraw-hill, 1968: 163
- [5] J. D. Gaskill, *Linear System, Fourier Transforms and Optics*. John Wiley & Sons Ins. 1978: 69~97

Lau effect of the plane-periodic object

YU FEIHONG LI ZHENGMIN

(Optical Engineering Department, Zhejiang University, Hangzhou 310027)

LIANG YINZHONG

(Physics Department, Wuhan Surveying & Mapping Technology University, Wuhan 430070)

LIU LIREN

(Shanghai Institute of Optics & Fine Mechanics, Academia Sinica, Shanghai 201800)

(Received 29 May 1991)

Abstract

Based on the cross-spectral density function, this paper discussed the Lau effect of the plane-periodic object. First, we derived the light intensity distribution of the Lau image of the general plane-object, then that of the Lau image of the plane-periodic object and the Lau imaging conditions. These coditions contain the Lau separation and the angle restricted condition. Finally we give out the experimental results.

Key words Lau effect, Plane-periodic object, Lau imaging condition.